

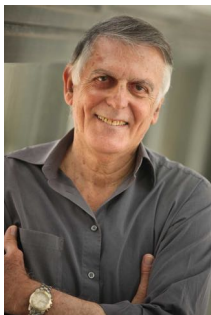
# Les quasicristaux : concepts et conséquences cristallographiques

Denis Gratias

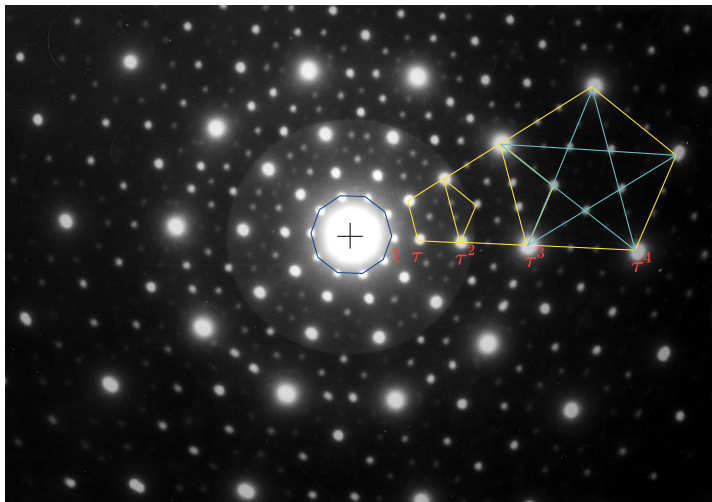
SOLEIL, le 16 Octobre 2018  
*Conférences CGE*

## La découverte de Shechtman

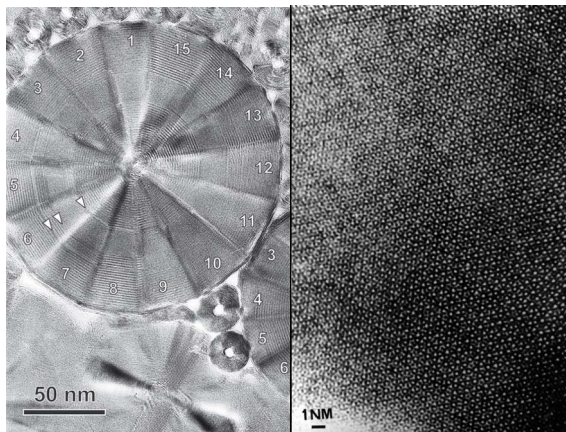
Le 8 avril 1982 au NBS (Gaithersburg-Maryland), D. Shechtman observe au MET un alliage  $Al_6Mn$  rapidement solidifié et découvre d'étranges précipités dendritiques au sein de la matrice Al.



## La diffraction paradoxale

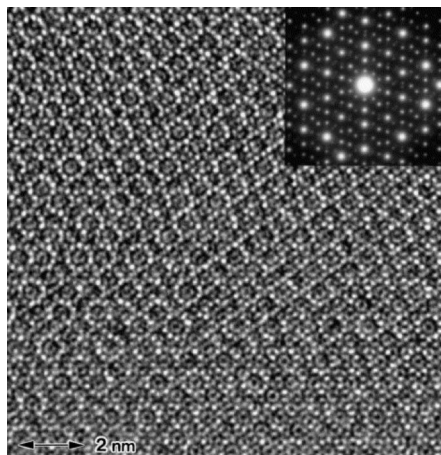


## Macles ou pas macles ?



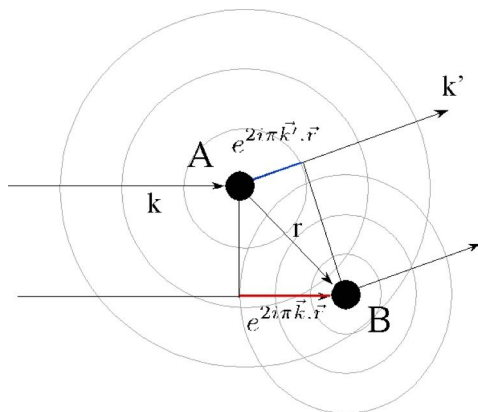
Le solide de Shechtman (à droite,  $\text{Al}_6\text{Mn}$ , R. Portier *et al.*) n'est pas le résultat d'un phénomène de maillage (à gauche, serpentine B. Devouard et A. Baronnet).

## Le solide de Shechtman à l'échelle atomique



MET Haute résolution de *i*-AlLiCu, Hiraga et al. (1987)

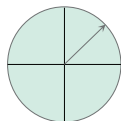
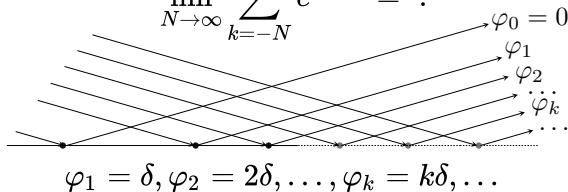
## La Loi de Bragg



$$2\pi\varphi = 2\pi(\vec{k}' - \vec{k}) \cdot \vec{r} = 2\pi\vec{q} \cdot \vec{r}$$

# La loi de Bragg

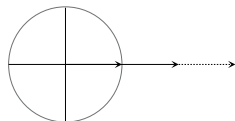
$$\lim_{N \rightarrow \infty} \sum_{k=-N}^N e^{2i\pi\varphi_k} = ?$$



$\delta \in \mathbb{R}$



$\delta \in \mathbb{Q}$



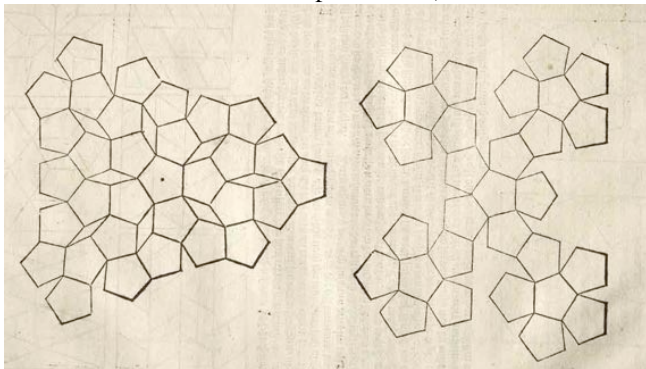
$\delta \in \mathbb{Z}$

**Diffraction de Bragg**

$$\delta = \vec{q} \cdot \vec{a} \in \mathbb{Z} \Rightarrow \vec{q} = n\vec{a}^* \in \mathbb{Z}^*$$

## L'interdit du pentagone

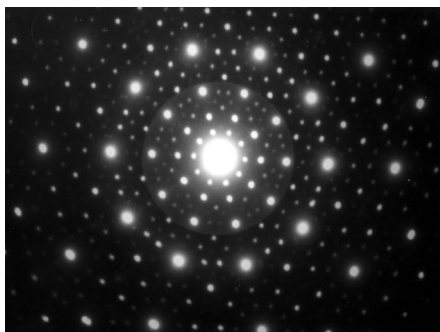
La figure de diffraction d'un cristal ne peut présenter que des symétries d'ordre 2, 3, 4 et 6 à l'exclusion de toutes les autres, en particulier 5 : aucun cristal ne peut présenter de symétrie quinaire ou icosaédrique (ou d'ordre supérieur à 6).



Les pavages (2D) d'Albrecht Dürer

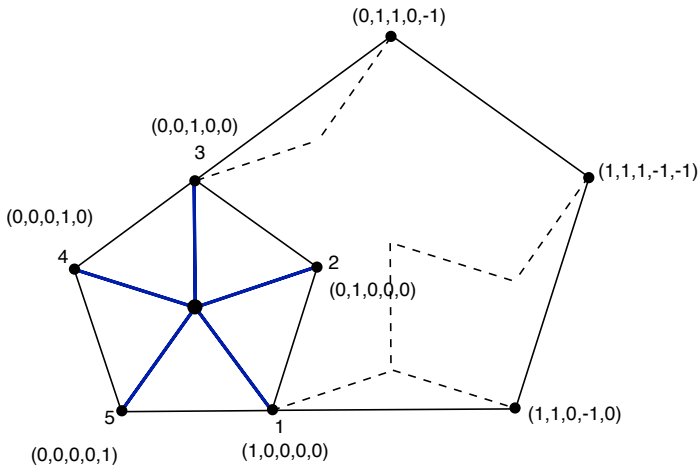
## La question de base

Comment est-il possible d'obtenir des **spots de diffraction de Bragg**, analogues à ceux engendrés par des cristaux, qui se distribuent selon une **symétrie quinaire** incompatible avec la périodicité des cristaux ?



D. Shechtman , I. Blech, D. Gratias et J.W. Cahn, PRL 53 (20), 1951-1953 (1984)

# Indexation des diagrammes de diffraction



## $\mathbb{Z}$ -module et diagrammes de diffraction

Les pics de diffraction du diagramme de la phase icosaédrique sont indexables par une combinaison linéaire à **coefficients entiers** de 6 vecteurs *arithmétiquement indépendants*:

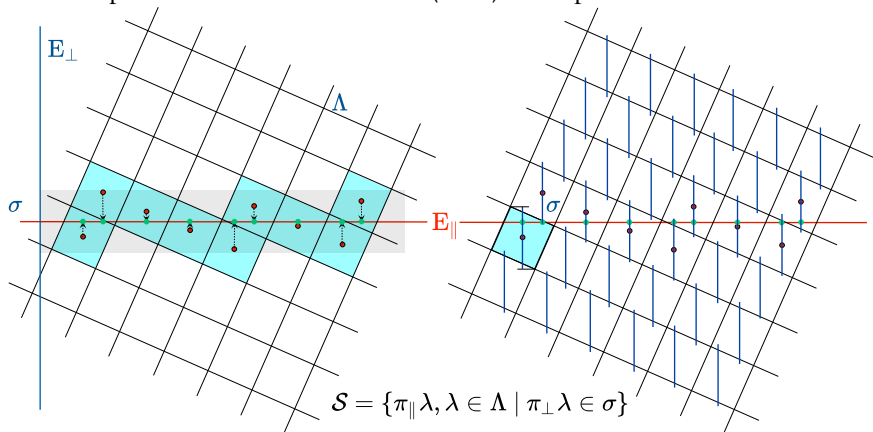
$$\vec{Q} = \sum_{i=1}^6 n_i \vec{e}_i, \quad n_i \in \mathbb{Z}$$

Un tel ensemble s'appelle un  $\mathbb{Z}$ -module de rang  $n$  (ici 6) qui est un espace vectoriel construit sur un anneau et est isomorphe à un réseau périodique  $\Lambda$  dans un espace de dimension  $n$  dont il est la projection irrationnelle par rapport aux périodes de  $\Lambda$ .

Le solide de D. Shechtman est descriptible comme une **coupe 3D** d'un objet **périodique** dans un espace 6D.

## Séquences quasipériodiques

La coupe de M. Duneau et A. Katz (1985); exemple 2D → 1D:

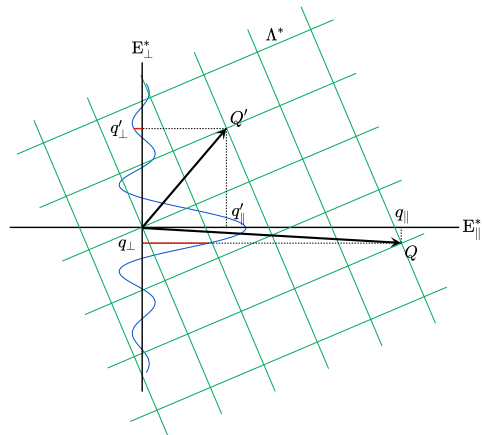
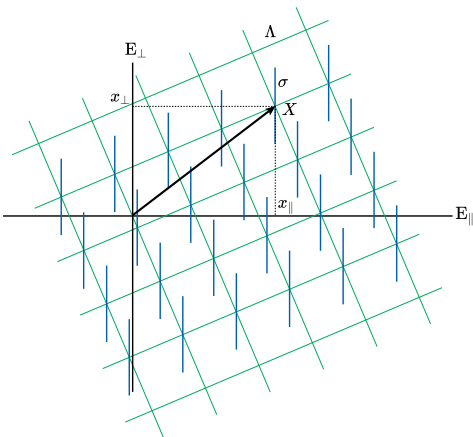


On collecte les **points d'intersections** des **surfaces atomiques**  $\sigma$  avec  $\mathbf{E}_{\parallel}$ .  
C'est un ensemble quasipériodique de points.

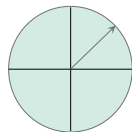
# Les quasicristaux : concepts et conséquences cristallographiques

└ Les canons de la cristallographie

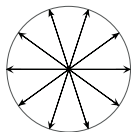
└ La diffraction



## Diffraction de Bragg



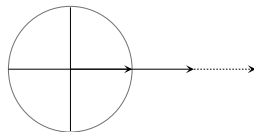
$$\delta \in \mathbb{R}$$



$$\delta \in \mathbb{Q}$$

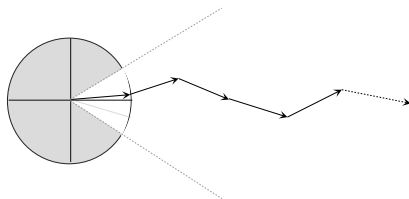


?

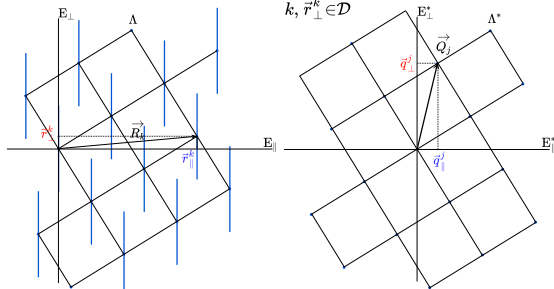


$$\delta \in \mathbb{Z}$$

$\delta \in ?$

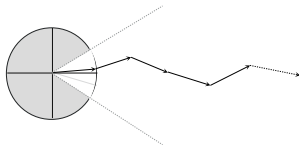


$$f(\vec{q}_{\parallel}^j) = \lim_{k \rightarrow \infty} \sum_{k, \vec{r}_{\perp}^k \in \mathcal{D}} e^{2i\pi \vec{q}_{\parallel}^j \cdot \vec{r}_{\parallel}^k}$$

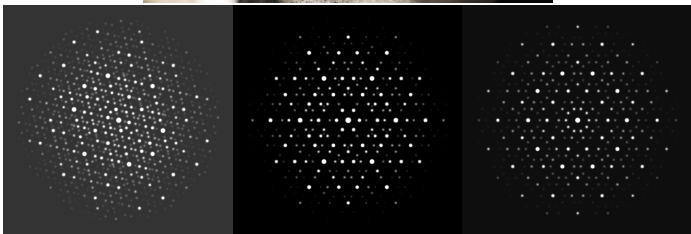
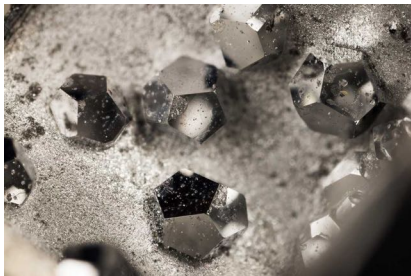


$$\vec{Q}_j \cdot \vec{R}_k = \vec{q}_{\parallel}^j \cdot \vec{r}_{\parallel}^k + \vec{q}_{\perp}^j \cdot \vec{r}_{\perp}^k = n \in \mathbb{Z}$$

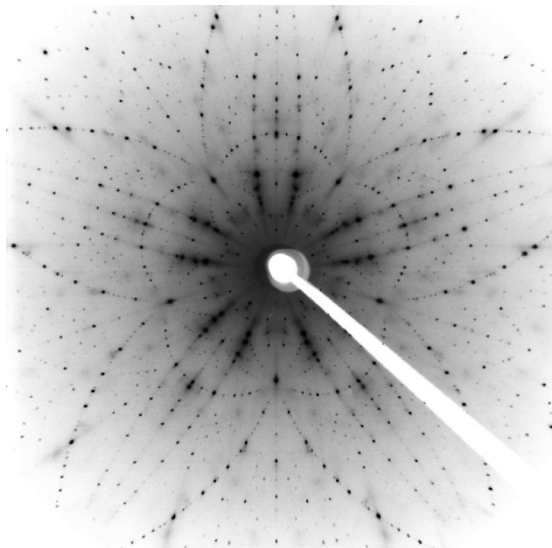
$$|\vec{r}_{\perp}^k| \text{ borné} \rightarrow |\vec{q}_{\perp}^j \cdot \vec{r}_{\perp}^k| \text{ borné}$$



## Les phases icosaédriques



Diagrammes de diffraction des phases icosaédriques F MgZnCe selon les directions 2, 3 et 5.



Diagrammes de diffraction de Laue de  $i$ -AlPdMn (M. de Boissieu)

## Quasicristallographie

Une structure quasicristalline est définie par :

- ▶ la dimension  $n$  de l'hyperespace  $\mathbf{E}^n$  et son réseau  $\Lambda$  dans  $\mathbf{E}^n$ ;
- ▶ la projection orthogonale  $\hat{\pi}_{\parallel}$  définie par :

$$\forall V \in \mathbf{E}^n \quad \hat{\pi}_{\parallel} V \in \mathbf{E}_{\parallel}, \quad \hat{\pi}_{\perp} = \hat{\mathbf{1}} - \hat{\pi}_{\parallel}$$

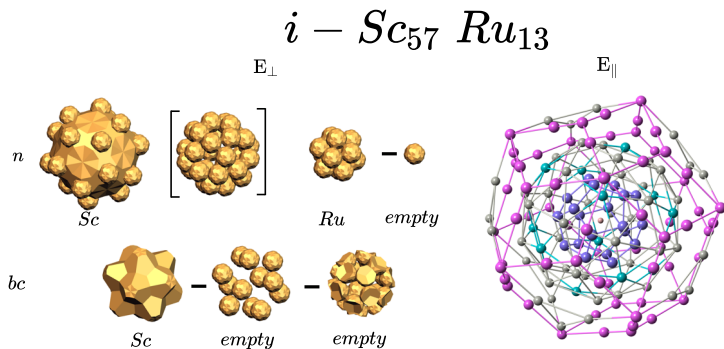
- ▶ le groupe d'espace  $\mathcal{G}$  est l'ensemble  $\mathcal{N}$  des isométries de  $\Lambda$  qui transforment  $\mathbf{E}_{\parallel}$  ( $\mathbf{E}_{\perp}$ ) parallèlement à lui-même:

$$\mathcal{G} = \{\hat{\mathbf{g}} \in \mathcal{N} \text{ tels que } [\hat{\mathbf{g}}, \hat{\pi}_{\parallel}] = \mathbf{0}\}$$

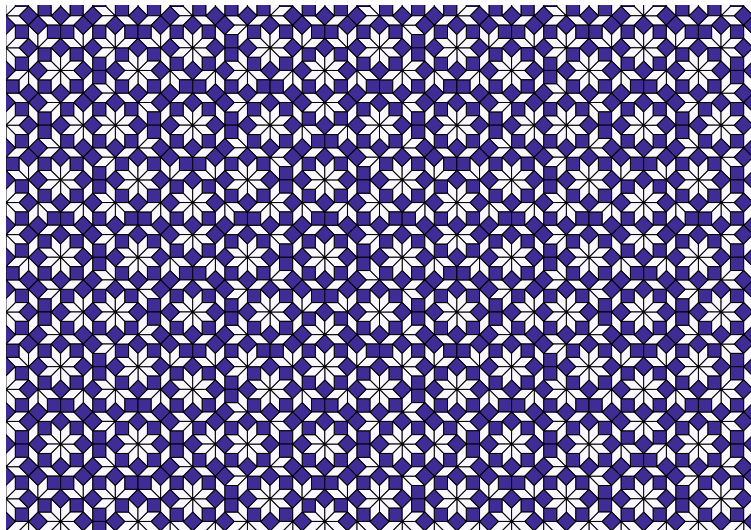
- ▶ la liste des surfaces atomiques, formes et localisations sur  $\Lambda$  (dans  $\mathbf{E}^n$ ).

## Exemple de définition structurale

Quasicristal icosaédrique hypothétique attendu dans le système (Sc,Ru(Pd)):



## Les propriétés fondamentales

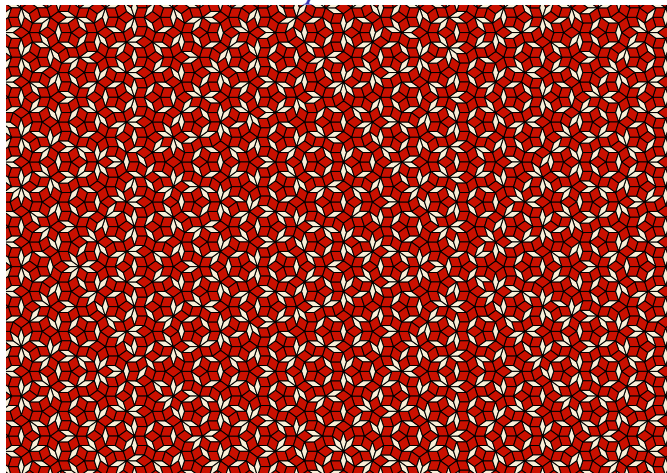


- ▶ **Répétitivité**: toute configuration de taille finie se répète uniformément une infinité de fois.
- ▶ **Isomorphisme local**: deux quasicristaux  $D$  et  $D'$  obtenus à partir de deux coupes parallèles (ne différant que par leurs traces dans la partie dense de  $\mathbf{E}_\perp$ ) sont localement isomorphes: toute configuration finie dans l'un se retrouve dans l'autre avec la même fréquence et réciproquement.
- ▶ **Support de Fourier dénombrable**: le support de Fourier du quasicristal s'appuie sur le  $\mathbb{Z}$ -module réciproque  $\Lambda^*$ ; c'est un ensemble dense dénombrable, essentiellement discret, de pics:

$$\varrho(r) = \sum_{k \in \Lambda^*} F(k) e^{2i\pi k \cdot r}$$

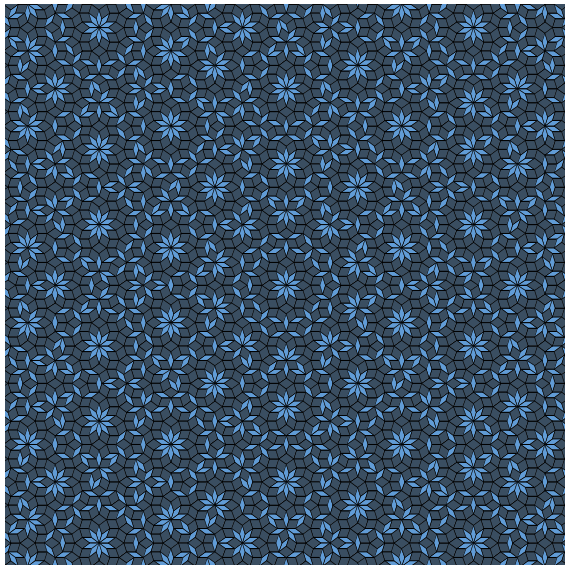
Toute translation de la coupe d'un vecteur  $T$  de  $\mathbf{E}^n$  se traduit par la multiplication des facteurs de structure par un facteur de phase  $e^{2i\pi k \cdot T}$  où  $k$  est un vecteur de  $\Lambda^*$ .

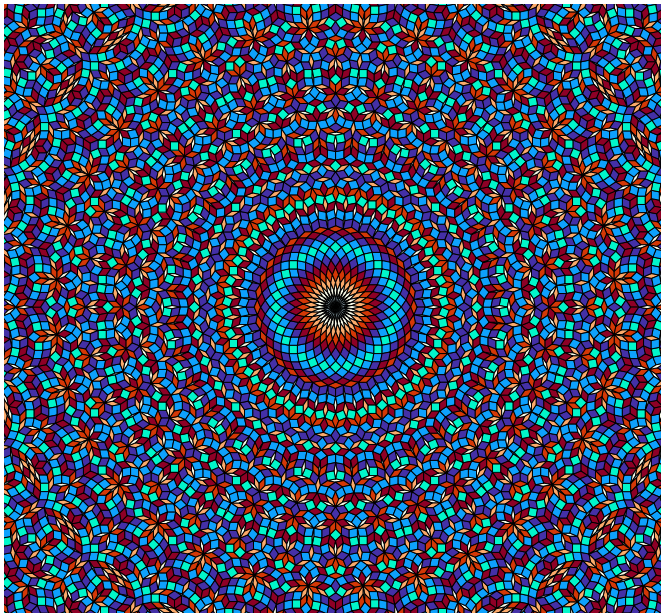
## Quel sens donner au mot *symétrie*



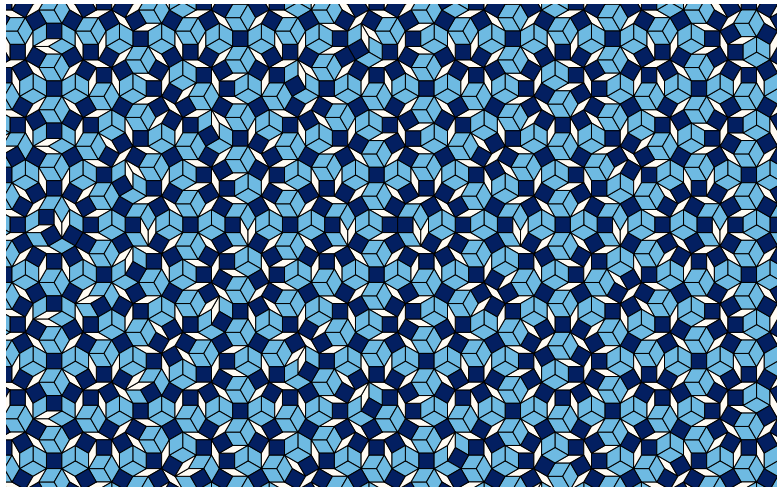
Pavage de Penrose

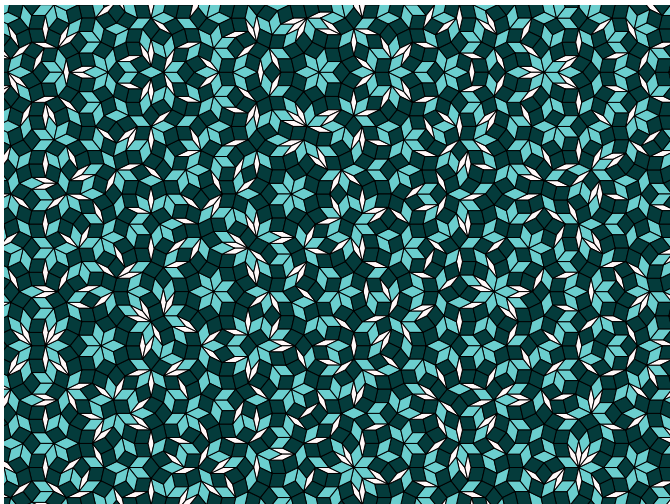
R. Penrose Bull Inst Maths its Appl 10 n°7/8 266 (1974), ibid. Math. Intelligencer 2 (1979) 32-37; voir aussi M. Gardner Sci. Amer. 236, n°110 (1977)



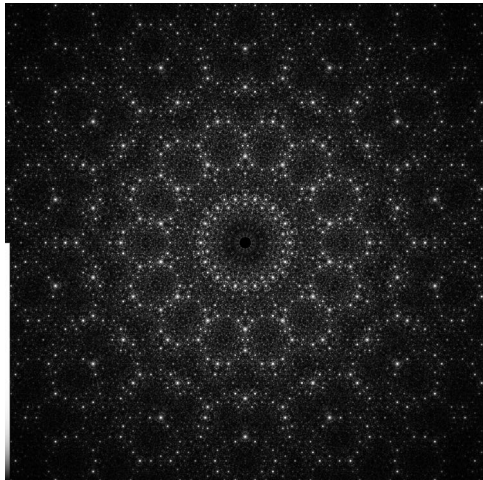


## La symétrie ...





... s'exprime dans l'espace réciproque



## Le sens des symétries quasicristallines...

Deux quasicristaux  $\varrho(r)$  et  $\varrho'(r)$  localement isomorphes ont des transformées de Fourier dont les coefficients  $\rho_k$  et  $\rho'_k$  ne diffèrent que d'un **facteur de phase** :

$$\rho_k = \rho'_k e^{2i\pi k \cdot T}, \quad k \in \Lambda^*$$

où  $T$  est la translation dans  $\mathbf{E}_\perp$  qui relie les deux coupes  $\mathbf{E}_\parallel$  et  $\mathbf{E}_\parallel'$ . En conséquence, à tout ordre  $n$  fini:

$$\rho_{k_1} \rho_{k_2} \cdots \rho_{k_n} = \rho'_{k_1} \rho'_{k_2} \cdots \rho'_{k_n} e^{2i\pi \sum_{j=1}^n k_j \cdot T}$$

et donc, en particulier:

$$\rho_{k_1} \rho_{k_2} \cdots \rho_{k_n} = \rho'_{k_1} \rho'_{k_2} \cdots \rho'_{k_n}, \quad \forall k_j \text{ tels que } \sum_{j=1}^n k_j = 0$$

## ...est l'indiscernabilité et non la superposition

- ▶ Deux distributions de matière  $\varrho(r)$  et  $\varrho'(r)$  sont dites **indiscernables** ou **physiquement équivalentes** SSI elles ont les **mêmes fonctions de corrélation à tout ordre  $n$  fini**:

$$C_n(r_1, \dots, r_n) = \int \varrho(r - r_1) \dots \varrho(r - r_n) d^3r;$$

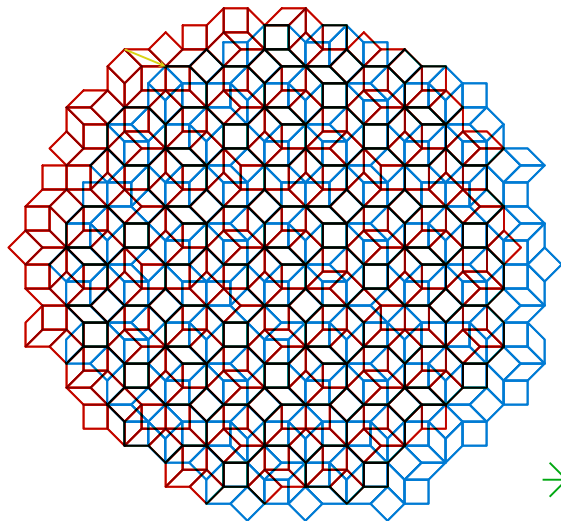
- ▶ L'égalité des fonctions de corrélation se traduit sur les termes de Fourier par l'égalité des produits des coefficients de Fourier sur tout chemin fermé:

$$\rho_{k_1} \rho_{k_2} \dots \rho_{k_n} = \rho'_{k_1} \rho'_{k_2} \dots \rho'_{k_n}, \quad \forall k_j \text{ tels que } \sum_{j=1}^n k_j = 0$$

- ▶ *L'ensemble des opérations qui transforment un quasicristal  $\varrho(\mathbf{r})$  en un autre **indiscernable**  $\varrho'(\mathbf{r})$  est le supergroupe d'espace  $\mathcal{G}$  de la représentation du quasicristal à  $\mathbf{N}$  dimensions.*
- ▶ *Ce supergroupe  $\mathcal{G}$  permet de décompter toutes les configurations équivalentes à tout ordre fini et donc donne une mesure de l'entropie du quasicristal.*

D. Mermin, "Crystallography is better in Fourier space", Quasicrystals: The state of the Art, pp 133—183 ed. D. Di Vincenzo and P. Steinhardt, World Scientific Publishing 2000

## Symétrie de translation



$$\Lambda - \Lambda \subseteq \Lambda + F$$

## Les quasicristaux d'Yves Meyer (1972)

Les cristaux sont des ensembles  $\Lambda$  de points tels que :

$$\Lambda - \Lambda \subseteq \Lambda$$

Les quasicristaux sont des ensembles  $\Lambda$  de points tels que :

$$\Lambda - \Lambda \subseteq \Lambda + F$$

où  $F$  est un ensemble non vide *constant fini* de vecteurs: le quasicristal se superpose *presque* à lui-même "à  $F$  près".

Dans l'espace réciproque,  $\Lambda^*$  pour un cristal usuel est défini par:

$$Q \in \Lambda^* \text{ SSI } \forall T \in \Lambda \quad e^{2i\pi Q \cdot T} - 1 = 0$$

et devient, pour un quasicristal:

$$Q \in \Lambda^* \text{ SSI } \exists \varepsilon > 0 \text{ tel que } \forall T \in \Lambda \quad |e^{2i\pi Q \cdot T} - 1| < \varepsilon$$

## Quelle distribution d'atomes diffracte ?

Un ensemble  $\Lambda$  de points dans  $\mathbb{R}^d$  peut être:

- ▶ **discret**;
- ▶ **uniformément discret**:  $\exists r > 0$  tel que toute sphère de rayon  $r$  contient **AU PLUS** un point de  $\Lambda$ ;
- ▶ **relativement dense**:  $\exists R > 0$  tel que toute sphère de rayon  $R$  contient **AU MOINS** un point de  $\Lambda$ ;
- ▶ **un ensemble De Launay** (*Delone set*):  $\Lambda$  est **uniformément discret** **ET** **relativement dense** ;
- ▶ **un ensemble de Meyer** (*Meyer set*):  $\Lambda$  **ET**  $\Delta = \Lambda - \Lambda$  sont des ensembles De Launay.

**Les ensembles de Meyer sont purement diffractifs** (leurs spectres de diffraction sont constitués uniquement de pics de Bragg).

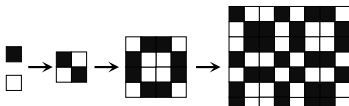
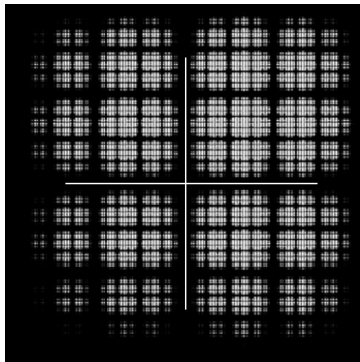
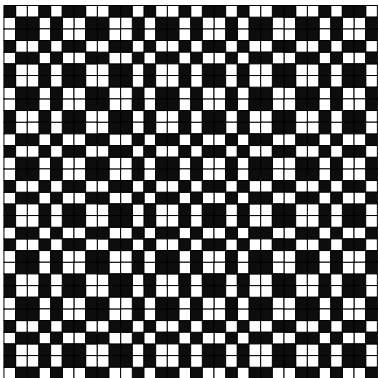
Baake M 1998 A Guide to Mathematical Quasicrystals in: Quasicrystals eds Suck J-B, Schreiber M and Heusler P (Berlin:

## Conclusions

La découverte des quasicristaux a permis de réviser en profondeur quelques notions fondamentales de la cristallographie:

- ▶ la cristallographie s'inscrit maintenant dans des **espaces Euclidiens de dimension supérieure à 3**;
- ▶ la diffraction de Bragg n'est pas limitée aux seuls édifices périodiques: **diffraction de Bragg et ordre à longue distance périodique ne sont pas synonymes** ;
- ▶ la symétrie pertinente en physique ne se borne pas aux isométries qui superposent un objet sur lui-même: **toute transformation d'indiscernabilité est une opération de symétrie**; on donne ainsi un sens thermodynamique au concept de supergroupe d'espace;
- ▶ la quasicristallographie ouvre la voie à de nouveaux types d'ordre à longue distance qui ne sont **ni périodiques ni quasipériodiques**...

## Exemple : Thue-Morse à 2D...



$$I_n(q) = \lim_{n, n' \rightarrow \infty} \prod_{k=0}^n \prod_{k'=0}^{n'} \sin^2(\pi q_x 2^k) \sin^2(\pi q_y 2^{k'})$$